

Math-Net.Ru

Общероссийский математический портал

Ю. Амари, М. Иида, Н. Савадо, Статистическая природа моделей Скирма–Фаддеева в $2 + 1$ измерениях и нормируемые фермионы, *ТМФ*, 2019, том 200, номер 3, 381–398

DOI: 10.4213/tmf9673

Использование Общероссийского математического портала Math-Net.Ru подразумевает, что вы прочитали и согласны с пользовательским соглашением <http://www.mathnet.ru/rus/agreement>

Параметры загрузки:

IP: 3.144.15.34

9 января 2025 г., 13:09:01



© 2019 г. Ю. Амари*, М. Иида*, Н. Савадо*

СТАТИСТИЧЕСКАЯ ПРИРОДА МОДЕЛЕЙ СКИРМА–ФАДДЕЕВА В $2 + 1$ ИЗМЕРЕНИЯХ И НОРМИРУЕМЫЕ ФЕРМИОНЫ

Модель Скирма–Фаддеева обладает плоскими солитонными решениями с таргет-пространством CP^N . С точки зрения статистических свойств решений решающую роль играет абелев член Черна–Саймонса (член Хопфа) в лагранжиане модели. Так как $\Pi_3(CP^1) = \mathbb{Z}$, при $N = 1$ этот член равен целому числу. С другой стороны, при $N > 1$ он становится пертурбативным, потому что группа $\Pi_3(CP^N)$ тривиальна. Множитель Θ перед членом Хопфа не квантуется, и его значение зависит от физической системы. Изучается спектральный поток нормируемых фермионов, взаимодействующих с так называемой baby-моделью Скирма (CP^N -моделью Скирма–Фаддеева). Обсуждается, можно ли объяснить статистическую природу солитонов с помощью их составляющих, т. е. кварков.

Ключевые слова: топологические солитоны, скирмионы, спиновая статистика, спектральный поток.

DOI: <https://doi.org/10.4213/tmf9673>

1. ВВЕДЕНИЕ

Модель Скирма–Фаддеева является примером теории поля, которая допускает решения в виде заузленных солитонов с конечной энергией. Классические солитонные решения модели Скирма–Фаддеева могут оказаться полезными для описания сектора сильной связи теории Янга–Миллса. В работе [1] было показано, что и в случае комплексного проективного таргет-пространства CP^N модель типа Скирма–Фаддеева обладает бесконечным числом точных солитонных решений в интегрируемом секторе, если константы связи удовлетворяют специальному соотношению. В работе [2] было получено численное подтверждение существования вихревых решений этой модели вне интегрируемого сектора при соответствующем выборе потенциалов. Заметим, что данная модель по существу эквивалентна так называемой baby-модели Скирма [3], которая является $(2 + 1)$ -мерным аналогом модели Скирма.

*Department of Physics, Tokyo University of Science, Noda, Japan.
E-mail: amari.yuki.ph@gmail.com, sawadoph@rs.tus.ac.jp

Хорошо известно, что с квантовой точки зрения солитонные решения обладают особым свойством (имеют “дробную” спиновую статистику), если в действие модели включается член Хопфа (тета-член) [4]. Поскольку $\Pi_3(\mathbb{C}P^1) = \mathbb{Z}$, такой член является инвариантом Хопфа и поэтому может быть представлен как полная производная, которая не влияет на классические уравнения движения. С другой стороны, поскольку $\Pi_4(\mathbb{C}P^1)$ тривиальна, константа связи Θ (множитель перед членом Хопфа) не квантуется. Как показано в работе [4] в модели с лагранжианном Хопфа солитоны с единичным топологическим зарядом обладают спином $\Theta/2\pi$, который может быть дробным. Для фермионной модели, взаимодействующей с $\mathbb{C}P^1$ -значным полем, величину Θ можно найти, например, с помощью теории возмущений [5], [6].

При $N > 1$ группа $\Pi_3(\mathbb{C}P^N)$ тривиальна, а тогда член Хопфа пертурбативен, т. е. он не является гомотопическим инвариантом, и это в общем случае означает, что вклад от этого члена может быть всегда дробным, даже если выбрать целым число n в анионном угле $\Theta = n\pi$. В статье [7] было указано, что в $\mathbb{C}P^N$ -значном поле возникает аналог члена Весса–Зумино–Виттена, который играет роль, аналогичную члену Хопфа при $N = 1$ [8]. В результате солитон может быть квантован как анион со статистическим углом Θ и таким аналогичным хопфовому членом.

В настоящей статье мы находим решения для фермионной модели, взаимодействующей с baby-моделью Скирма или $\mathbb{C}P^N$ -моделью Скирма–Фаддеева. Основное свойство локализирующей фермионной моды на топологическом солитоне понимается в терминах базиса из теоремы Атьи–Зингера об индексе [9]. Индекс оператора Дирака D можно определить как $\dim \ker D - \dim \ker D^\dagger$, он связан с энергией Казимира фермионов. Анализ спектрального потока в кирально-инвариантной модели (модели Скирма) представляет собой просто реализацию теоремы Атьи–Зингера [10]. Меняя форму и амплитуду фонового скирмионного поля, можно добиться того, чтобы B одночастичных состояний перешли из положительного континуума в отрицательный. В результате энергия Казимира имеет B состояний, и это соответствует солитонам. В модели Скирма член Весса–Зумино–Виттена топологический и является источником топологической природы солитонов (скирмионов) и фермионов. Поэтому мы полагаем, что статистическая природа солитона связана с локализирующими фермионами. Поскольку член Хопфа $\mathbb{C}P^N$ -модели не является топологическим, мы полагаем, что нарушается согласованность между статистической природой солитона и природой локализирующих фермионов. Анализ аргумента спектрального потока дает нам новую информацию о такой согласованности (или несогласованности).

Мы рассматриваем только случай $N = 2$, но обобщение на большие N можно провести непосредственно.

2. BABY-МОДЕЛЬ СКИРМА

2.1. Модель и топологический заряд. Введем $\mathbb{C}P^1$ -модель, или так называемую baby-модель Скирма. Полное каноническое квантование этой модели уже изучалось в работе [11], но с действием без члена Хопфа. Имеется много исследований фермионов, взаимодействующих с нелинейной сигма-моделью [5], [6], [8], включая анализ спектрального потока (см., например, недавнюю работу [12]). Лагранжиан данной модели записывается как

$$\mathcal{L}_{\text{baby}} = M^2 \partial_\mu \vec{n} \cdot \partial^\mu \vec{n} + \frac{1}{e^2} (\partial_\mu \vec{n} \times \partial_\nu \vec{n}) \cdot (\partial^\mu \vec{n} \times \partial^\nu \vec{n}) - \mu^2 V, \quad (1)$$

где вектор $\vec{n} = (n_1, n_2, n_3)$ определяет сферическую поверхность единичного радиуса, $\vec{n} \cdot \vec{n} = 1$. Положительный параметр M^2 – константа связи, имеющая размерность массы, а константа связи e^{-2} имеет размерность обратной массы (для положительности гамильтониана e^2 должна быть выбрана отрицательной). Через $\mu^2 V$ обозначено потенциальное слагаемое, не содержащее производной, при этом μ^2 задает силу взаимодействия. Граничное условие $\vec{n}_\infty = (0, 0, 1)$ допускает одноточечную компактификацию пространства: $\mathbb{R}^2 \rightarrow S^2$. Следовательно, при отображении $\vec{n}: S^2 \rightarrow S^2$ возникают скирмионы. Это отображение принадлежит классу эквивалентности, который задается гомотопической группой $\pi_2(S^2) = \mathbb{Z}$. Решения, называемые baby-скирмионами, получаются в результате решения уравнений Эйлера–Лагранжа для лагранжиана (1), если ввести подходящий анзац или упростить гамильтониан, используя численные алгоритмы, например алгоритм имитации отжига. В численных расчетах мы используем стандартную подстановку через переменные θ, φ ,

$$\vec{n} = (\sin f(r) \cos n\varphi, \sin f(r) \sin n\varphi, \cos f(r)), \tag{2}$$

с граничными условиями

$$f(0) = \pi, \quad f(\infty) = 0, \quad n \in \mathbb{Z}. \tag{3}$$

Топологический инвариант имеет вид

$$Q_{\text{top}} = -\frac{1}{4\pi} \int d^2x \vec{n} \cdot (\partial_1 \vec{n} \times \partial_2 \vec{n}). \tag{4}$$

В терминах переменных (2) с граничным условием (3) мы без труда получаем, что $Q_{\text{top}} \equiv n$. При обсуждении квантования удобнее использовать $SU(2)$ -значное поле $U := \vec{\tau} \cdot \vec{n}$. Тогда лагранжиан можно переписать как

$$\mathcal{L}_{\text{baby}} = \frac{M^2}{2} \text{Tr}(\partial_\mu U \partial^\mu U) - \frac{1}{8e^2} \text{Tr}([\partial_\mu U, \partial_\nu U]^2) - \mu^2 V. \tag{5}$$

Топологический ток в терминах поля U задается формулой

$$j^\mu(U) = \frac{i}{16\pi} \epsilon^{\mu\nu\lambda} \text{Tr}(U \partial_\nu U \partial_\lambda U), \tag{6}$$

а топологический заряд (4) выражается как

$$Q_{\text{top}} = \frac{i}{16\pi} \int d^2x j^0(U) = \frac{i}{16\pi} \int d^2x \epsilon_{ij} \text{Tr}(U \partial_i U \partial_j U). \tag{7}$$

Еще раз повторим, что аналог члена Весса–Зумино–Виттена для baby-скирмионов уже обсуждался в литературе [7], [8]. Он задается формулой

$$S_{\text{wzw}}^{(3)} = \frac{\Theta}{128\pi^2} \int_{M_4} d^4x \epsilon^{\mu\nu\alpha\beta} \text{Tr}[U \partial_\mu U \partial_\nu U \partial_\alpha U \partial_\beta U] \tag{8}$$

или, в более удобном виде, который легко получается из (8), формулой

$$S_{\text{wzw}}^{(3)} = \Theta \int_{\partial M_4} d^3x \mathcal{L}_{\text{Hopf}}, \quad \mathcal{L}_{\text{Hopf}} := \frac{1}{4\pi^2} \epsilon^{\mu\nu\alpha} a_\mu \partial_\nu a_\alpha, \tag{9}$$

где $a_\mu := -iZ^\dagger \partial_\mu Z$. Эти комплексные координаты и поле U связаны соотношением $U := 1 - 2Z \otimes Z^\dagger$. Поскольку $\Pi_4(\mathbb{C}P^1)$ тривиальна, множитель Θ не нуждается в квантовании. Данный коэффициент иногда называют анионным углом, поскольку он связан с дробным моментом импульса baby-скирмионов.

Для последующего анализа введем безразмерные координаты (t, ρ, φ) с помощью формул

$$x^0 = r_0 t, \quad x^1 = r_0 \rho \cos \varphi, \quad x^2 = r_0 \rho \sin \varphi, \quad (10)$$

где масштаб длины r_0 определяется через константы связи, $r_0^2 = 4/(M^2|e^2|)$, и мы полагаем скорость света $c = 1$ в естественных единицах. Элемент длины ds^2 имеет вид

$$ds^2 = r_0^2(dt^2 - d\rho^2 - \rho^2 d\varphi^2).$$

2.2. Нормируемые фермионы. Система фермионных вихрей впервые изучалась Джакимов и Росси [14]. Хорошо известно, что эффективная модель фермионов со взаимодействием с baby-скирмионом, имеющая спектральную щель mU , приводит посредством интегрирования фермионного поля к эффективному лагранжиану, который содержит члены типа лагранжиана baby-модели Сkirма и некоторые топологические члены, включая член Хопфа [5], [6].

Рассмотрим калибровочную модель

$$\mathcal{L}_{\text{ferm}} = i\bar{\psi}\gamma^\alpha(\partial_\alpha - iA_\alpha)\psi - m\bar{\psi}U\psi \equiv i\bar{\psi}\mathcal{D}_A\psi, \quad \alpha = 1, 2, 3, \quad (11)$$

где m – константа связи baby-скирмионов и фермионов. Матрицы γ^α задаются стандартным образом: $\gamma^1 = -i\sigma_1$, $\gamma^2 = -i\sigma_2$, $\gamma^3 = \sigma_3$, где σ_α – матрицы Паули. После подходящей перенормировки в лагранжиане, $\psi \rightarrow r_0^{-1}\psi$, $A_\alpha \rightarrow r_0^{-1}A_\alpha$, $m \rightarrow r_0^{-1}m$, система становится безразмерной. Евклидова статистическая сумма задается как

$$\mathcal{Z} = e^{\omega(U)} = \int \mathcal{D}\psi \mathcal{D}\bar{\psi} \exp(i\bar{\psi}\mathcal{D}_A\psi) = (\det i\mathcal{D}_A)^{n_c}, \quad (12)$$

где n_c – степень вырождения фермионов. Выделим в эффективном действии $\omega(U)$ вещественную и мнимую части:

$$\omega(U) = n_c \text{Sp} \ln(i\mathcal{D}_A) = \text{Re} \omega(U) + i \text{Im} \omega(U), \quad (13)$$

$$\text{Re} \omega(U) = \frac{n_c}{2} \text{Sp} \ln \mathcal{D}_A^\dagger \mathcal{D}_A, \quad \text{Im} \omega(U) = \frac{n_c}{2i} \text{Sp} \ln \frac{i\mathcal{D}_A}{(i\mathcal{D}_A)^\dagger}; \quad (14)$$

здесь и далее Sp обозначает полный след, включающий функциональный и матричный, а также след по индексам аромата и спинорным индексам, Tr – обычный след матрицы.

Имеется много работ, посвященных расчету эффективного действия $\omega(U) = \ln \mathcal{Z}$ с помощью разложения по степеням производных. Результат содержит как действие модели (в вещественной части), так и топологические члены (в мнимой части). После длительных вычислений (см. приложение) получаем эффективное действие в пространстве-времени Минковского:

$$\text{Re} \omega(U)|_{A=0} = n_c \frac{|m|}{16\pi} \int d^3x \text{Tr}(\partial_\mu U \partial^\mu U) + \left(\begin{array}{l} \text{члены, содержащие} \\ \text{высшие производные} \end{array} \right), \quad (15)$$

$$\text{Im} \omega(U) = -n_c \int d^3x (j^\mu(U)A_\mu + \pi \text{sgn}(m)\mathcal{L}_{\text{Hopf}}(U)). \quad (16)$$

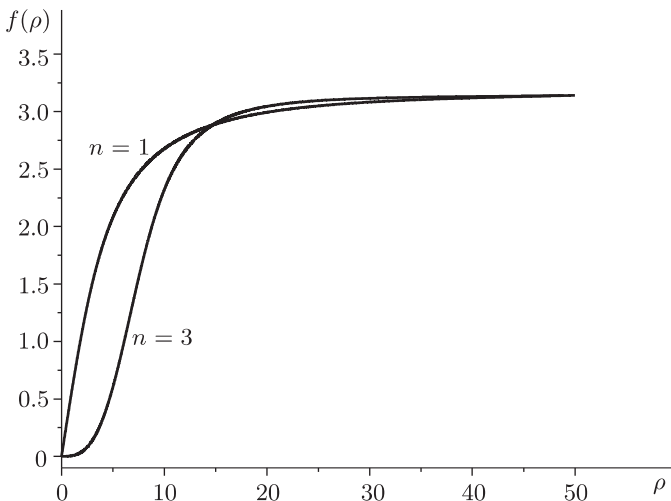


Рис. 1. Профиль $f(\rho)$ baby-скирмионов с $Q_{\text{top}} = n$ для $n = 1, 3$. Потенциал задан стандартным образом: $V := 1 - n_3$. Параметр $\tilde{\mu} := (r_0^2/M^2)\mu^2$ выбран равным 0.005.

Если рассматривать эффективное действие как действие модели типа baby-модели Скирма, то анионный угол Θ можно определить как $\Theta \equiv n_c \pi \operatorname{sgn}(m)$, и тогда он квантуется как обычная спиновая статистика. Таким образом, как и в случае модели Скирма, фермионное число baby-скирмиона совпадает с его топологическим зарядом. В самом деле, инвариантность эффективного действия $\omega(U)$ относительно изосинглетного преобразования приводит к сохранению фермионного тока [13]. Анализ можно провести методами теории возмущений, т. е. пертурбативное разложение справедливо только при импульсах, малых по сравнению с физическим уровнем обрезания.

Существует другое определение фермионного числа на скирмионном фоне – через “деформированный дираковский вакуум” [15], [16]:

$$N_{\text{Cas}} := -\frac{1}{2} \sum_{\mu} [\operatorname{sgn}(\epsilon_{\mu}) - \operatorname{sgn}(\epsilon_{\mu}^0)], \tag{17}$$

где ϵ_{μ} – собственное значение гамильтониана

$$i\mathcal{D}|_{A=0} := \gamma_3(i\partial_3 - \mathcal{H}_{\text{ferm}}), \quad \mathcal{H}_{\text{ferm}} = -i\gamma_3\gamma_k\partial_k + \gamma_3 mU, \tag{18}$$

а ϵ_{μ}^0 – аналогичное собственное значение при $U = 1$. Число N_{Cas} есть энергия Казимира, которая равна количеству отрицательных энергетических уровней за вычетом количества тех же уровней при вакуумном фоне. Выражение (17) напрямую получается из эффективного действия $\omega(U)$. Поэтому, по крайней мере в рамках пертурбативного подхода, оба результата должны совпадать, $N_{\text{Cas}} \equiv Q_{\text{top}}$. Далее мы численно подтверждаем это совпадение, анализируя спектральный поток.

2.3. Численный анализ. Типичные baby-скирмионы с топологическими зарядами $Q_{\text{top}} = 1, 3$ представлены на рис. 1. Гамильтониан имеет следующий явный вид:

$$\mathcal{H}_{\text{ferm}} = \begin{pmatrix} mU & -e^{-i\varphi}(\partial_\rho - \frac{i\partial_\varphi}{\rho}) \\ e^{i\varphi}(\partial_\rho + \frac{i\partial_\varphi}{\rho}) & -mU \end{pmatrix}. \quad (19)$$

Можно показать, что гамильтониан $\mathcal{H}_{\text{ferm}}$ коммутирует с оператором момента импульса, который мы называем *большим спином*:

$$\mathcal{K} = \ell_3 + \frac{\sigma_3}{2} + \frac{\tau_3}{2}, \quad (20)$$

где $\ell_3 = (\mathbf{r} \times \mathbf{p})_3 = -i \partial/\partial\varphi$ есть третья компонента момента импульса, а τ_3 – третья изоспиновая матрица Паули.

Вкратце опишем численный метод расчета спектра таких фермионов. Согласно вариационному принципу Рэля–Ритца, для каждого \mathcal{K} верхнюю границу спектра можно получить из векового уравнения

$$\det(\mathcal{A} - \epsilon\mathcal{B}) = 0, \quad (21)$$

где

$$\begin{aligned} \mathcal{A}_{k^{(p)}k^{(q)}} &= \int d^3x \phi_{\mathcal{K}}^{(p)}(k^{(p)}, \mathbf{x})^\dagger \mathcal{H}_{\text{ferm}} \phi_{\mathcal{K}}^{(q)}(k^{(q)}, \mathbf{x}), \\ \mathcal{B}_{k^{(p)}k^{(q)}} &= \int d^3x \phi_{\mathcal{K}}^{(p)}(k^{(p)}, \mathbf{x})^\dagger \phi_{\mathcal{K}}^{(q)}(k^{(q)}, \mathbf{x}). \end{aligned} \quad (22)$$

Базис плоских волн задается как

$$\begin{aligned} \phi_{\mathcal{K}}^{(u)}(k_i^{(u)}, \mathbf{x}) &:= \langle \mathbf{x} | (u)\mathcal{K}; i \rangle = \mathcal{N}_i^{(u)} \begin{pmatrix} \omega_{i,\epsilon}^{(u)-} J_{\mathcal{K}-\frac{1}{2}-\frac{n}{2}}(k_i^{(u)} \rho) e^{i(\mathcal{K}-\frac{1}{2}-\frac{n}{2})\varphi} \\ \omega_{i,\epsilon}^{(u)+} J_{\mathcal{K}+\frac{1}{2}-\frac{n}{2}}(k_i^{(u)} \rho) e^{i(\mathcal{K}+\frac{1}{2}-\frac{n}{2})\varphi} \end{pmatrix} \otimes \begin{pmatrix} 1 \\ 0 \end{pmatrix}, \\ \phi_{\mathcal{K}}^{(d)}(k_i^{(d)}, \mathbf{x}) &:= \langle \mathbf{x} | (d)\mathcal{K}; i \rangle = \mathcal{N}_i^{(d)} \begin{pmatrix} \omega_{i,\epsilon}^{(d)+} J_{\mathcal{K}-\frac{1}{2}+\frac{n}{2}}(k_i^{(d)} \rho) e^{i(\mathcal{K}-\frac{1}{2}+\frac{n}{2})\varphi} \\ \omega_{i,\epsilon}^{(d)-} J_{\mathcal{K}+\frac{1}{2}+\frac{n}{2}}(k_i^{(d)} \rho) e^{i(\mathcal{K}+\frac{1}{2}+\frac{n}{2})\varphi} \end{pmatrix} \otimes \begin{pmatrix} 0 \\ 1 \end{pmatrix}, \end{aligned} \quad (23)$$

где

$$\omega_{i,\epsilon}^{(p)+} = \omega_{i,-\epsilon}^{(p)-} = 1, \quad \omega_{i,-\epsilon}^{(p)+} = \omega_{i,\epsilon}^{(p)-} = \frac{-\text{sgn}(\epsilon)k_i^{(p)}}{|\epsilon| + m}, \quad \epsilon > 0, \quad p = u, d. \quad (24)$$

Базис плоских волн мы строим в круге большого радиуса D . В результате наложения граничных условий

$$J_{\mathcal{K}+\frac{1}{2}-\frac{n}{2}}(k_i^{(u)} D) = 0, \quad J_{\mathcal{K}-\frac{1}{2}+\frac{n}{2}}(k_i^{(d)} D) = 0 \quad (25)$$

получается дискретный набор волновых чисел $k^{(u)}$, $k^{(d)}$. Имеют место условия ортогональности

$$\int_0^D d\rho \rho J_\nu(k_i^{(p)} \rho) J_\nu(k_j^{(p)} \rho) = \int_0^D d\rho \rho J_{\nu\pm 1}(k_i^{(p)} \rho) J_{\nu\pm 1}(k_j^{(p)} \rho) = \delta_{ij} \frac{D^2}{2} [J_{\nu\pm 1}(k_i^{(p)} D)]^2, \quad (26)$$

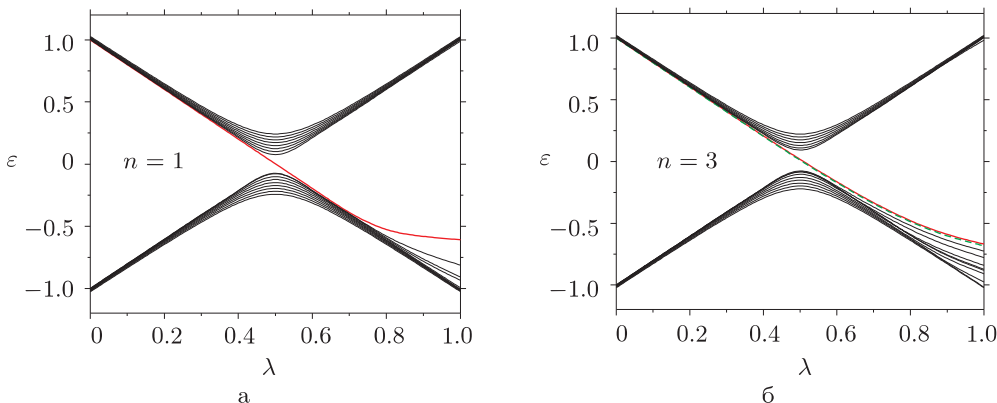


Рис. 2. Спектральный поток, соответствующий решениям, приведенным на рис. 1, для $n = 1$ (а) и $n = 3$ (б). При $\lambda = 0$ фоновое поле совпадает с вакуумом U_∞ , при $\lambda = 1$ оно совпадает с полем солитона U . На рисунке показаны первые 18 энергетических уровней (9 положительных и 9 отрицательных в точке вакуума $\lambda = 0$). Константа связи выбрана как $m = 1.0$, а параметр потенциала $\tilde{\mu}^2 = 0.005$.

в которых $\nu = \mathcal{K} \pm \frac{1}{2} \mp \frac{n}{2}$. Уравнение (21) можно решить численно. Если взять всё бесконечное множество волновых чисел (что означает бесконечный размер матриц), то собственное значение ϵ становится точным. Нормировочные постоянные для базисных векторов равны

$$\begin{aligned} \mathcal{N}_i^{(u)} &= \left[\frac{2\pi D^2 |\epsilon|}{|\epsilon| + m} (J_{\mathcal{K} - \frac{1}{2} - \frac{n}{2}}(k_i^{(u)} D))^2 \right]^{-1/2}, \\ \mathcal{N}_i^{(d)} &= \left[\frac{2\pi D^2 |\epsilon|}{|\epsilon| + m} (J_{\mathcal{K} + \frac{1}{2} + \frac{n}{2}}(k_i^{(d)} D))^2 \right]^{-1/2}. \end{aligned} \tag{27}$$

Чтобы получить спектральный поток, используем линейную интерполяцию поля

$$U(x, \lambda)_{\text{intp}} = (1 - \lambda)U_\infty + \lambda U(x), \quad 0 \leq \lambda \leq 1,$$

где $U(x)$ – поле с нетривиальной топологией и U_∞ – асимптотическое поле. Для задания параметра λ мы гладко сшиваем вакуумное и солитонное состояние. Далее подставляем $U_{\text{intp}}(x, \lambda)$ в гамильтониан (19) и решаем задачу (21) на собственные значения с помощью стандартного алгоритма диагонализации матрицы LAPACK.

На рис. 2 представлено несколько типичных спектральных потоков. Некоторые выделенные энергетические уровни опускаются из положительного континуума в отрицательный. Число фермионных уровней, пересекающих ноль, всегда равно топологическому заряду поля $U(x)$. Как мы увидим, эти уровни являются нормируемыми модами, и тогда их поведение описывается теоремой об индексе.

Собственная функция $\psi(\mathbf{x})$ гамильтониана (19) в терминах собственных состояний уравнения (21) имеет вид

$$\psi_{\mathcal{K}, \mu}(\mathbf{x}) := \langle \mathbf{x} | \mathcal{K}; \mu \rangle = \sum_i [\langle \mathbf{x} | (u) \mathcal{K}; i \rangle \langle (u) \mathcal{K}; i | \mu \rangle + \langle \mathbf{x} | (d) \mathcal{K}; i \rangle \langle (d) \mathcal{K}; i | \mu \rangle]. \tag{28}$$

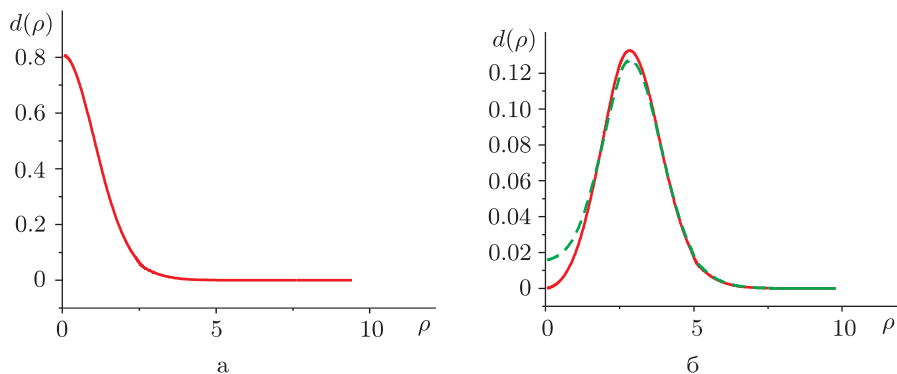


Рис. 3. Фермионная плотность (29). Собственные функции рассчитаны с солитонным фоном при $\lambda = 1$. Кривые соответствуют жирным линиям на рис. 2 (на рис. 2б две линии практически слились). Параметр потенциала выбран равным $\tilde{\mu}^2 = 0.1$.

Заметим, что большой спин \mathcal{K} является удачным квантовым числом, матрицы (22) блочно-диагональные. Следовательно, для каждого \mathcal{K} суммирование в (28) ведется только по i . Отсюда можно вычислить нормированную плотность фермионной моды

$$d_{\mathcal{K}}(\rho) = \frac{1}{2\pi n_c} \int d\varphi \bar{\psi}_{\mathcal{K},0}(\mathbf{x}) \gamma_3 \psi_{\mathcal{K},0}(\mathbf{x}), \quad (29)$$

где $\psi_{\mathcal{K},0}$ – мода спектрального потока. Графики плотности показаны на рис. 3. При численных расчетах мы выбрали радиус круга $D = 50.0$ и 512 точек для дискретизации импульса. Данные моды спектрального потока локализируются сначала на солитоне, а затем становятся нормируемыми модами. Расчеты показывают, что анионный угол $\Theta \equiv n_c \pi \operatorname{sgn}(m)$ определяется числом нормируемых фермионных мод. Таким образом, природа спиновой статистики baby-скирмиона согласуется с природой локализованных фермионов.

3. CP^N -МОДЕЛЬ

3.1. Модель и полевые уравнения. Вкратце опишем модель Скирма–Фаддеева на таргет-пространстве CP^N . Введем лагранжиан

$$\begin{aligned} \mathcal{L}_{\text{SF}} = & \frac{M^2}{2} \operatorname{Tr}(\partial_\mu \Phi \partial^\mu \Phi) + \frac{1}{e^2} \operatorname{Tr}([\partial_\mu \Phi, \partial_\nu \Phi]^2) + \\ & + \frac{\beta}{2} (\operatorname{Tr}(\partial_\mu \Phi \partial^\mu \Phi))^2 + \gamma (\operatorname{Tr}(\partial_\mu \Phi \partial_\nu \Phi))^2 - \mu^2 V(\Phi), \end{aligned} \quad (30)$$

где, как и выше, константа связи M^2 имеет размерность массы, а константы связи e^{-2} , β , γ – размерность обратной массы. Через V обозначен потенциальный член, который не содержит производной и не разрушает локальную симметрию модели. Для поля Φ мы рассматриваем следующую параметризацию N комплексными полями $u := \{u_i\}$, $i = 1, \dots, N$:

$$\Phi = I_{(N+1) \times (N+1)} + \frac{2}{\vartheta^2} \begin{pmatrix} -u \otimes u^\dagger & iu \\ -iu^\dagger & -1 \end{pmatrix}, \quad \vartheta := \sqrt{1 + u^\dagger \cdot u}. \quad (31)$$

В терминах этих полей лагранжиан (30) записывается как

$$\mathcal{L}_{\text{SF}} = -\frac{1}{2}[M^2\eta_{\mu\nu} + C_{\mu\nu}]\tau^{\nu\mu} - \mu^2 V, \quad (32)$$

где

$$\begin{aligned} \tau_{\mu\nu} &:= -\frac{4}{\vartheta^4}[\vartheta^2 \partial_\nu u^\dagger \cdot \partial_\mu u - (\partial_\nu u^\dagger \cdot u)(u^\dagger \cdot \partial_\mu u)], \\ C_{\mu\nu} &:= M^2\eta_{\mu\nu} - \frac{4}{e^2}[(\beta e^2 - 1)\tau_\rho^\rho \eta_{\mu\nu} + (\gamma e^2 - 1)\tau_{\mu\nu} + (\gamma e^2 + 2)\tau_{\nu\mu}]. \end{aligned} \quad (33)$$

Вариация по полю u_i^* приводит к уравнениям, которые после умножения на функции, обратные к Δ_{ij}^2 , т. е. на

$$\Delta_{ij}^{-2} = \frac{1}{1 + u^\dagger \cdot u}(\delta_{ij} + u_i u_j^*),$$

могут быть записаны в виде

$$\begin{aligned} (1 + u^\dagger \cdot u)\partial^\mu(C_{\mu\nu}\partial^\nu u_i) - C_{\mu\nu}[(u^\dagger \cdot \partial^\mu u)\partial^\nu u_i + (u^\dagger \cdot \partial^\nu u)\partial^\mu u_i] + \\ + \frac{\mu^2}{4}(1 + u^\dagger \cdot u)^2 \sum_{k=1}^N \left[(\delta_{ik} + u_i u_k^*) \frac{\delta V}{\delta u_k^*} \right] = 0. \end{aligned} \quad (34)$$

Далее мы рассмотрим некоторые примеры потенциала. В простейшем случае, когда потенциал является функцией абсолютных значений поля, $V(|u_1|^2, \dots, |u_N|^2)$, вклад, связанный с этим потенциалом, принимает вид

$$\sum_{k=1}^N \left[(\delta_{ik} + u_i u_k^*) \frac{\delta V}{\delta u_k^*} \right] = u_i \left[\frac{\delta V}{\delta |u_i|^2} + \sum_{k=1}^N |u_k|^2 \frac{\delta V}{\delta |u_k|^2} \right].$$

Рассмотрим замену переменных, заданную как

$$u_j = f_j(\rho) e^{in_j \varphi}. \quad (35)$$

Постоянные n_i образуют множество целых чисел. Чтобы упростить дальнейшие формулы, зададим диагональную матрицу $\lambda \equiv \text{diag}(n_1, \dots, n_N)$. Тогда $\tau_{\mu\nu}$ принимают вид

$$\begin{aligned} \tau_{\rho\rho} &\equiv \theta(\rho) = -\frac{4}{\vartheta^4} [\vartheta^2 f'^T \cdot f' - (f'^T \cdot f)(f^T \cdot f')], \\ \tau_{\varphi\varphi} &\equiv \omega(\rho) = -\frac{4}{\vartheta^4} [\vartheta^2 f^T \cdot \lambda^2 \cdot f - (f^T \cdot \lambda \cdot f)^2], \\ \tau_{\varphi\rho} &= -\tau_{\rho\varphi} \equiv i\zeta(\rho) = -i\frac{4}{\vartheta^4} [\vartheta^2 f'^T \cdot \lambda \cdot f - (f^T \cdot \lambda \cdot f)(f'^T \cdot f)], \end{aligned} \quad (36)$$

где штрихом обозначена производная по ρ и индекс T означает транспонирование. В безразмерных координатах уравнения движения записываются как

$$\begin{aligned} (1 + f^T \cdot f) \left[\frac{1}{\rho} (\rho \tilde{C}_{\rho\rho} f'_k)' + \frac{i}{\rho} \left(\frac{\tilde{C}_{\rho\varphi}}{\rho} \right)' (\lambda \cdot f)_k - \frac{1}{\rho^4} \tilde{C}_{\varphi\varphi} (\lambda^2 \cdot f)_k \right] - \\ - 2 \left[\tilde{C}_{\rho\rho} (f^T \cdot f') f'_k - \frac{1}{\rho^4} \tilde{C}_{\varphi\varphi} (f^T \cdot \lambda \cdot f) (\lambda \cdot f)_k \right] + \\ + \tilde{\mu}^2 \frac{f_k}{4} (1 + f^T \cdot f)^2 \left[\frac{\delta V}{\delta f_k^2} + \sum_{i=1}^N f_i^2 \frac{\delta V}{\delta f_i^2} \right] = 0 \end{aligned} \quad (37)$$

для каждого $k = 1, \dots, N$, где мы положили $\tilde{C}_{\mu\nu} := C_{\mu\nu}/M^2$ и $\tilde{\mu}^2 := (r_0^2/M^2)\mu^2$. Величины $\tilde{C}_{\mu\nu}$, появляющиеся в уравнениях движения, имеют вид

$$\begin{aligned}\tilde{C}_{\rho\rho} &= -1 + (\beta e^2 - 1)\left(\theta + \frac{\omega}{\rho^2}\right) + (2\gamma e^2 + 1)\theta, \\ \tilde{C}_{\varphi\varphi} &= -\rho^2 + \rho^2(\beta e^2 - 1)\left(\theta + \frac{\omega}{\rho^2}\right) + (2\gamma e^2 + 1)\omega, \\ \tilde{C}_{\varphi\rho} &= -\tilde{C}_{\rho\varphi} = -3i\zeta.\end{aligned}\tag{38}$$

При численных расчетах полезно ввести масштабированную координату y и переменные g_j с помощью формул

$$\rho = \sqrt{\frac{1-y}{y}}, \quad f_j = \frac{1}{\sqrt{N}} \sqrt{\frac{1-g_j}{g_j}}, \quad y \in (0, 1], \quad g_j \in (0, 1].\tag{39}$$

С учетом результатов работ [17], а также обсуждения в работе [1] можно определить топологический заряд в рассматриваемой модели. Поле u_i задает отображение из плоскости (x^1, x^2) в пространство $\mathbb{C}P^N$. Однако, чтобы энергия была конечной, поле должно стремиться к константе на пространственной бесконечности. Тогда плоскость (x^1, x^2) топологически компактифицируется в S^2 , а конфигурация поля с конечной энергией определяет отображение $S^2 \rightarrow \mathbb{C}P^N$, которое классифицируется по гомотопическим классам группы $\pi_2(\mathbb{C}P^N)$. Существует теорема [17], согласно которой $\pi_2(G/H) = \pi_1(H)_G$, где $\pi_1(H)_G$ – подмножество в $\pi_1(H)$, образованное замкнутыми путями в H , которые могут быть стянуты в точку в группе G . Таким образом, в данном случае гомотопическая группа задается как

$$\pi_2(\mathbb{C}P^N) = \pi_1(SU(N) \otimes U(1))_{SU(N+1)} = \mathbb{Z}.\tag{40}$$

Топологический заряд как элемент гомотопической группы задается интегралом от топологического тока, который в терминах поля Φ имеет вид

$$j^\mu(\Phi) = \frac{i}{16\pi} \epsilon^{\mu\nu\lambda} \text{Tr}(\Phi \partial_\nu \Phi \partial_\lambda \Phi).\tag{41}$$

Как было отмечено в работах [1], [18], фактически топологический заряд равен числу полюсов функции u_i включая полюс на бесконечности. Решения вблизи границ ведут себя, как голоморфные функции, т. е. $u_i \sim \rho^{n_i} e^{in_i\varphi}$ (где $n_i \in \mathbb{Z}$) в окрестности начала координат и на пространственной бесконечности, следовательно, топологический заряд $Q_{\text{top}} = n_{\text{max}} + |n_{\text{min}}|$, где n_{max} и n_{min} – наибольшее положительное и наименьшее отрицательное число в множестве n_1, \dots, n_N .

Теперь зададим в явном виде потенциальный член. В общем случае потенциалы являются функцией полей, которые должны исчезать на пространственной бесконечности и сохранять локальные симметрии модели. В нашей модели самый простой выбор – это потенциал “old baby”-типа $\text{Tr}(1 - \Phi_\infty^{-1}\Phi)$, где Φ_∞ – значение поля на пространственной бесконечности, $\Phi_\infty := \lim_{\rho \rightarrow \infty} \Phi(\rho)$. Предположив, что решение и его голоморфный аналог имеют одинаковое асимптотическое поведение на пространственной бесконечности, получаем, что обратная к основной переменной Φ стремится к $\Phi_\infty^{-1} := \text{diag}(-1, 1, 1)$ при $\rho \rightarrow \infty$ для $n_1 > n_2 > 0$. Заметим, что та же

обратная стремится к $\Phi_0^{-1} := \text{diag}(1, 1, -1)$ при $\rho \rightarrow 0$, поэтому $\text{Tr}(1 - \Phi_0^{-1}\Phi)$ можно рассматривать как “new baby”-потенциал с двумя вакуумами [19]. Итак, рассмотрим следующий общий вид потенциала:

$$V = [\text{Tr}(1 - \Phi_0^{-1}\Phi)]^a [\text{Tr}(1 - \Phi_\infty^{-1}\Phi)]^b = \frac{(|u_1|^2 + |u_2|^2)^a (1 + |u_2|^2)^b}{(1 + |u_1|^2 + |u_2|^2)^{a+b}} = \frac{(g_1 + g_2 - 2g_1g_2)^a g_1^b (1 + g_2)^b}{(g_1 + g_2)^{a+b}}, \quad (42)$$

где целые числа $a \geq 0, b > 0$.

Предположим, что при $n_2 < 0$ поле u_2 в нуле ведет себя так же, как голоморфный аналог, т. е. как ρ^{n_2} , следовательно, оно расходится при $\rho \rightarrow 0$. Тогда обратная к основной переменной Φ стремится к $\Phi_0^{-1} := \text{diag}(1, -1, 1)$ при $\rho \rightarrow 0$. При этом потенциал приобретает следующий общий вид:

$$V = \frac{(1 + |u_1|^2)^a (1 + |u_2|)^b}{(1 + |u_1|^2 + |u_2|^2)^{a+b}} = \frac{g_1^b g_2^a (1 + g_1)^a (1 + g_2)^b}{(g_1 + g_2)^{a+b}} \quad (43)$$

с целыми $a \geq 0, b > 0$.

3.2. Нормируемые фермионные моды. Для таргет-пространства $\mathbb{C}P^N$ кирально-симметричные фермионы, взаимодействующие с солитоном, впервые обсуждались в работе [17]. Было подтверждено, что нормируемая нулевая фермионная мода возникает в силу теоремы об индексе.

Рассмотрим отвечающую лагранжиану (30) калибровочную модель

$$\mathcal{L}_{\text{ferm}} = i\bar{\psi}\gamma^\alpha(\partial_\alpha - iA_\alpha)\psi - m\bar{\psi}\Phi\psi \equiv i\bar{\psi}\mathcal{D}_A\psi, \quad \alpha = 1, 2, 3. \quad (44)$$

Евклидова статистическая сумма определяется как

$$\mathcal{Z} = e^{\omega(\Phi)} = \int \mathcal{D}\psi \mathcal{D}\bar{\psi} \exp(i\bar{\psi}\mathcal{D}_A\psi) = (\det i\mathcal{D}_A)^{n_c}. \quad (45)$$

Получаем вещественную и мнимую части эффективного действия:

$$\text{Re } \omega(\Phi)|_{A=0} = n_c \frac{|m|}{16\pi} \int d^3x \text{Tr}(\partial_\mu \Phi \partial^\mu \Phi) + \left(\begin{array}{l} \text{члены, содержащие} \\ \text{высшие производные} \end{array} \right), \quad (46)$$

$$\text{Im } \omega(\Phi) = -n_c \int d^3x (j^\mu(\Phi)A_\mu + \pi \text{sgn}(m)\mathcal{L}_{\text{Hopf}}(\Phi)). \quad (47)$$

Явный вид тока j^μ совпадает с (41). Следовательно, как указано в работах [5], [6], [8], в таком фермионном контексте можно задать анионный угол Θ в виде $\Theta \equiv n_c \pi \text{sgn}(m)$, если вихри взаимодействуют с фермионным полем. Однако, поскольку $\text{P}_3(\mathbb{C}P^N)$ тривиальна, сам по себе член Хопфа $\mathcal{L}_{\text{Hopf}}$ пертурбативен, а интеграл зависит от фоновых классических решений. Поэтому нельзя ожидать, что этот интеграл будет равен целому числу. В результате солитоны всегда являются анионами, даже если $\Theta = n\pi$, где $n \in \mathbb{Z}$ [20].

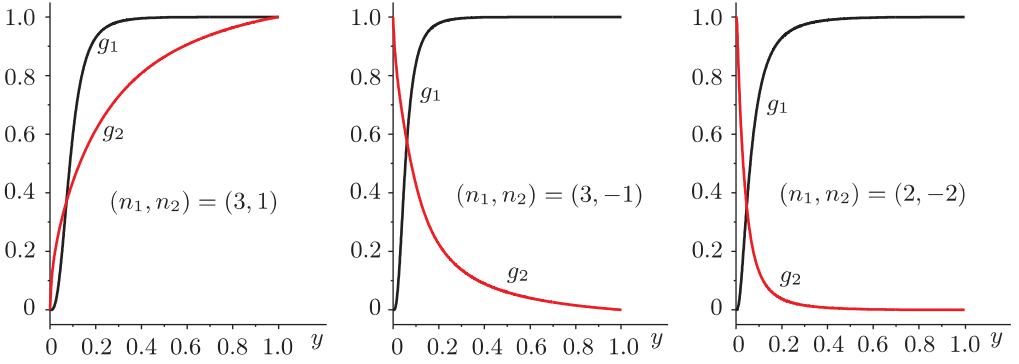


Рис. 4. Решения g_1, g_2 для потенциала с параметрами $(a, b) = (0, 2)$. Прочие параметры $(\beta e^2, \gamma e^2, \tilde{\mu}^2) = (5.0, 5.0, 1.0)$.

3.3. Численный анализ. На рис. 4 представлены графики типичных солитонных решений для топологического заряда $Q_{\text{top}} = 3, 4$. Параметры потенциала в (42) или (43) выбраны как $a = 0, b = 2$.

Гамильтониан имеет вид

$$\mathcal{H}_{\text{ferm}} = -i\gamma_3\gamma_k \partial_k + \gamma_3 m\Phi = \begin{pmatrix} m\Phi & -e^{-i\varphi}(\partial_\rho - \frac{i\partial_\varphi}{\rho}) \\ e^{i\varphi}(\partial_\rho + \frac{i\partial_\varphi}{\rho}) & -m\Phi \end{pmatrix}, \quad (48)$$

где $i\mathcal{D}_A|_{A=0} := \gamma_3(i\partial_3 - \mathcal{H}_{\text{ferm}})$. Можно показать, что $\mathcal{H}_{\text{ferm}}$ коммутирует с оператором момента импульса, который мы, как и выше, называем *большим спином*:

$$\mathcal{K} = \ell_3 + \frac{\sigma_3}{2} - \frac{n_1}{2} \left(\lambda_3 + \frac{1}{\sqrt{3}} \lambda_8 \right) + \frac{n_2}{2} \left(\lambda_3 - \frac{1}{\sqrt{3}} \lambda_8 \right), \quad (49)$$

где $\ell_3 = (\mathbf{r} \times \mathbf{p})_3 = -i\partial/\partial\varphi$ и λ_3, λ_8 – матрицы Гелл-Мана.

Базис плоских волн имеет вид

$$\begin{aligned} \phi_{\mathcal{K}}^{(u)}(k_i^{(u)}, \mathbf{x}) &= \mathcal{N}_i^{(u)} \begin{pmatrix} \omega_{i,\epsilon}^{(u)-} J_{\mathcal{K}-\frac{1}{2} + \frac{2n_1-n_2}{3}}(k_i^{(u)} \rho) e^{i(\mathcal{K}-\frac{1}{2} + \frac{2n_1-n_2}{3})\varphi} \\ \omega_{i,\epsilon}^{(u)+} J_{\mathcal{K}+\frac{1}{2} + \frac{2n_1-n_2}{3}}(k_i^{(u)} \rho) e^{i(\mathcal{K}+\frac{1}{2} + \frac{2n_1-n_2}{3})\varphi} \end{pmatrix} \otimes \begin{pmatrix} 1 \\ 0 \\ 0 \end{pmatrix}, \\ \phi_{\mathcal{K}}^{(d)}(k_i^{(d)}, \mathbf{x}) &= \mathcal{N}_i^{(d)} \begin{pmatrix} \omega_{i,\epsilon}^{(d)+} J_{\mathcal{K}-\frac{1}{2} - \frac{n_1-2n_2}{3}}(k_i^{(d)} \rho) e^{i(\mathcal{K}-\frac{1}{2} - \frac{n_1-2n_2}{3})\varphi} \\ \omega_{i,\epsilon}^{(d)-} J_{\mathcal{K}+\frac{1}{2} - \frac{n_1-2n_2}{3}}(k_i^{(d)} \rho) e^{i(\mathcal{K}+\frac{1}{2} - \frac{n_1-2n_2}{3})\varphi} \end{pmatrix} \otimes \begin{pmatrix} 0 \\ 1 \\ 0 \end{pmatrix}, \\ \phi_{\mathcal{K}}^{(s)}(k_i^{(s)}, \mathbf{x}) &= \mathcal{N}_i^{(s)} \begin{pmatrix} \omega_{i,\epsilon}^{(s)+} J_{\mathcal{K}-\frac{1}{2} - \frac{n_1+n_2}{3}}(k_i^{(s)} \rho) e^{i(\mathcal{K}-\frac{1}{2} - \frac{n_1+n_2}{3})\varphi} \\ \omega_{i,\epsilon}^{(s)-} J_{\mathcal{K}+\frac{1}{2} - \frac{n_1+n_2}{3}}(k_i^{(s)} \rho) e^{i(\mathcal{K}+\frac{1}{2} - \frac{n_1+n_2}{3})\varphi} \end{pmatrix} \otimes \begin{pmatrix} 0 \\ 0 \\ 1 \end{pmatrix}, \end{aligned}$$

где

$$\omega_{i,\epsilon}^{(p)+} = \omega_{i,-\epsilon}^{(p)-} = 1, \quad \omega_{i,-\epsilon}^{(p)+} = \omega_{i,\epsilon}^{(p)-} = \frac{-\text{sgn}(\epsilon)k_i^{(p)}}{|\epsilon| + m}, \quad \epsilon > 0, \quad p = u, d, s. \quad (50)$$

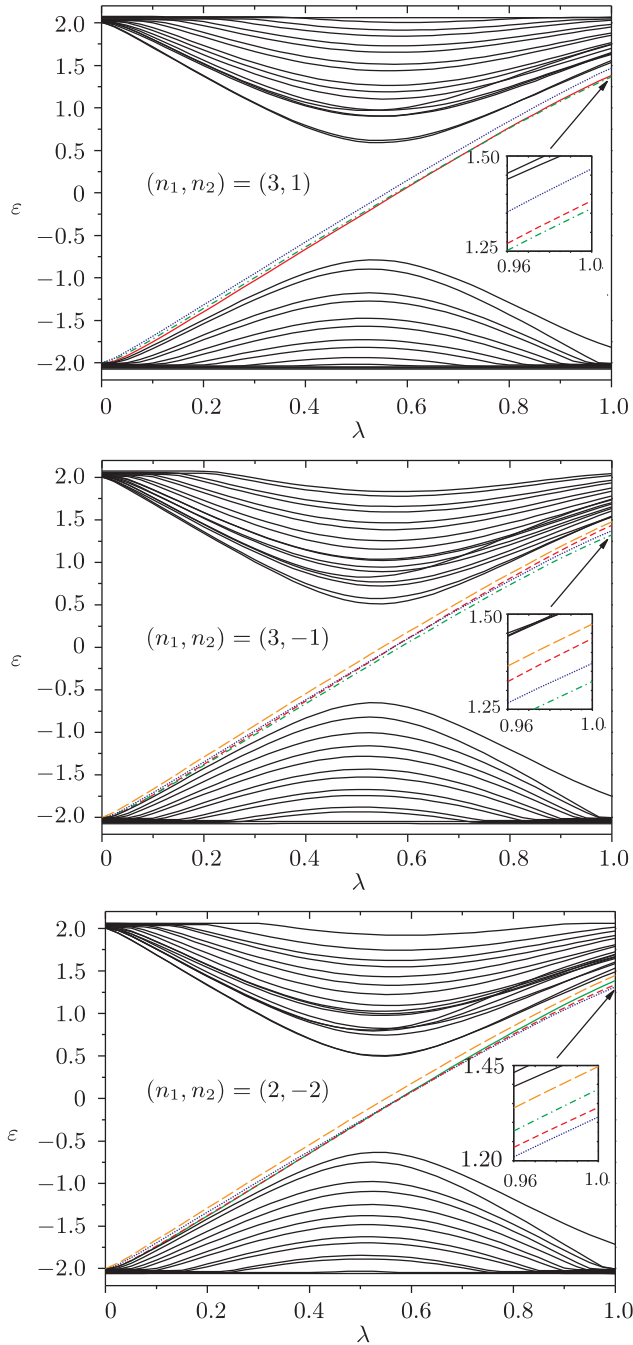


Рис. 5. Спектральный поток, отвечающий решениям на рис. 4. Изображены первые 34 энергетических уровня (17 положительных и 17 отрицательных для вакуумного фона $\lambda = 0$). Константа связи выбрана как $m = 2.0$.

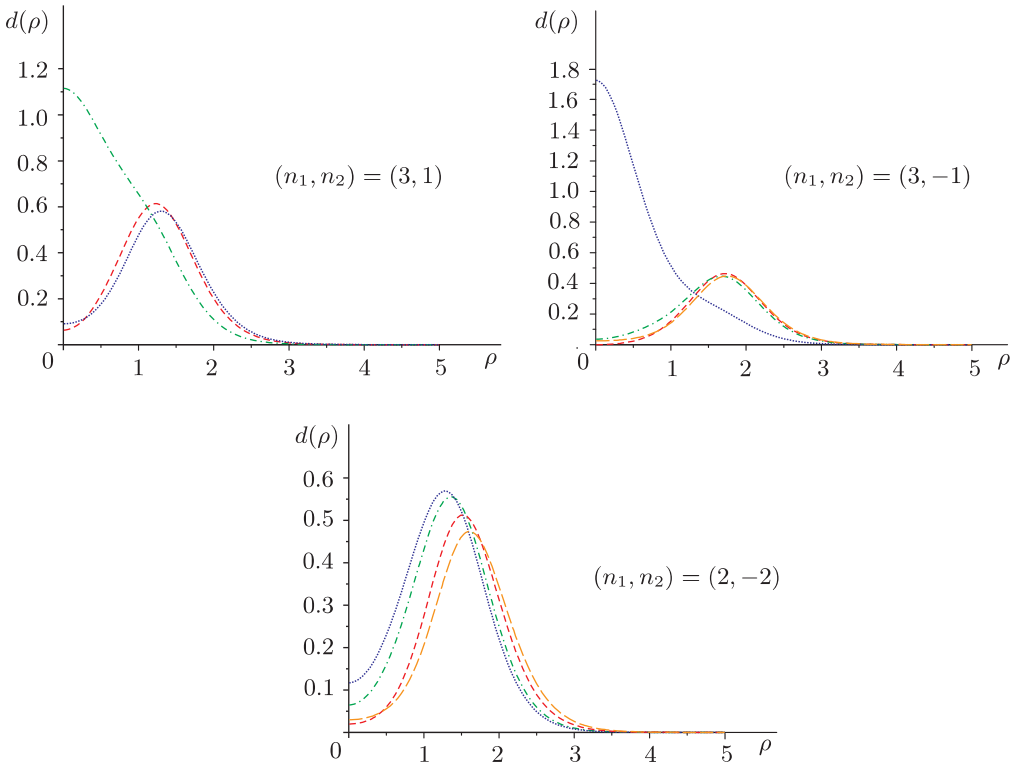


Рис. 6. Фермионная плотность (29) для модели с потенциалом (42) с параметрами $(a, b) = (0, 2)$, прочие параметры $(\beta e^2, \gamma e^2, \tilde{\mu}^2) = (1.1, 1.1, 1.0)$. Собственные функции рассчитаны с солитонным фоном при $\lambda = 1$. Типы кривых отвечают кривым на врезке на рис. 5.

Базис плоских волн мы строим в круге большого радиуса $\rho = D$. В результате наложения граничных условий

$$J_{\mathcal{K} - \frac{1}{2} + \frac{2n_1 - n_2}{3}}(k_i^{(u)} D) = 0, \quad J_{\mathcal{K} - \frac{1}{2} - \frac{n_1 - 2n_2}{3}}(k_i^{(d)} D) = 0, \quad J_{\mathcal{K} - \frac{1}{2} - \frac{n_1 + n_2}{3}}(k_i^{(s)} D) = 0$$

получается дискретный набор волновых чисел $k^{(u)}, k^{(d)}, k^{(s)}$. Условия ортогональности задаются соотношениями

$$\int_0^D d\rho \rho J_\nu(k_i^{(p)} \rho) J_\nu(k_j^{(p)} \rho) = \int_0^D d\rho \rho J_{\nu \pm 1}(k_i^{(p)} \rho) J_{\nu \pm 1}(k_j^{(p)} \rho) = \delta_{ij} \frac{D^2}{2} [J_{\nu \pm 1}(k_i^{(p)} D)]^2, \tag{51}$$

в которых

$$\nu = \mathcal{K} - \frac{1}{2} + \frac{2n_1 - n_2}{3}, \quad \mathcal{K} - \frac{1}{2} - \frac{n_1 - 2n_2}{3}, \quad \mathcal{K} - \frac{1}{2} - \frac{n_1 + n_2}{3}.$$

Задачу на собственные значения можно решить численно. Если взять всё бесконечное множество волновых чисел (что означает бесконечный размер матриц), то

собственное значение ϵ становится точным. Нормировочные постоянные для базисных векторов равны

$$\begin{aligned} \mathcal{N}_i^{(u)} &= \left[\frac{2\pi D^2 |\epsilon|}{|\epsilon| + m} \left(J_{\mathcal{K} + \frac{1}{2} + \frac{2n_1 - n_2}{3}}(k_i^{(u)} D) \right)^2 \right]^{-1/2}, \\ \mathcal{N}_i^{(d)} &= \left[\frac{2\pi D^2 |\epsilon|}{|\epsilon| + m} \left(J_{\mathcal{K} + \frac{1}{2} - \frac{n_1 - 2n_2}{3}}(k_i^{(d)} D) \right)^2 \right]^{-1/2}, \\ \mathcal{N}_i^{(s)} &= \left[\frac{2\pi D^2 |\epsilon|}{|\epsilon| + m} \left(J_{\mathcal{K} + \frac{1}{2} - \frac{n_1 + n_2}{3}}(k_i^{(s)} D) \right)^2 \right]^{-1/2}. \end{aligned} \tag{52}$$

Чтобы получить спектральный поток, используем линейную интерполяцию поля

$$\Phi(x, \lambda)_{\text{intp}} = (1 - \lambda)\Phi_\infty + \lambda\Phi(x), \quad 0 \leq \lambda \leq 1,$$

где $\Phi(x)$ – поле с нетривиальной топологией и $\Phi_\infty(x)$ – асимптотическое поле. На рис. 5 представлены несколько типичных графиков спектральных потоков. Некоторые выделенные энергетические уровни опускаются из положительного континуума в отрицательный. Число фермионных уровней, пересекающих ноль, всегда равно топологическому заряду поля $\Phi(x)$. Как мы увидим, эти уровни являются нормируемыми модами, и тогда их поведение описывается теоремой об индексе.

Нормируемая фермионная плотность задана в (29). Ее графики показаны на рис. 6. При численных расчетах в целях экономии компьютерного времени мы выбрали радиус круга $D = 20.0$ и 192 точки для дискретизации импульса.

4. ОБОБЩЕНИЕ НА СЛУЧАЙ БОЛЬШИХ N

Мы рассмотрели случаи $N = 1, 2$, но наш анализ непосредственным образом обобщается на большие N . Фактически солитонные уравнения движения (37) записаны для произвольного N ; кроме того, некоторые результаты можно найти в работе [2]. Поэтому мы сосредоточимся на обсуждении того, как в случае больших N следует работать с фермионной частью модели. Нетрудно показать, что при произвольном N сохраняющееся квантовое число, которое коммутирует с гамильтонианом (48), есть

$$\mathcal{K} = \ell_3 + \frac{\sigma_3}{2} + \sum_{k=1}^N n_k \left[\frac{1}{3} I_{(N+1) \times (N+1)} - \tilde{I}_k \right], \tag{53}$$

где $\tilde{I}_k = \text{diag}(\underbrace{0, \dots, 1}_k, 0, \dots, 0)$. Разумеется, (53) при $N = 2$ совпадает с (49).

Базис плоских волн записывается как

$$\begin{aligned} \phi_{\mathcal{K}}^{(1)}(k_i^{(1)}, \mathbf{x}) &= \mathcal{N}_i^{(1)} \begin{pmatrix} \omega_{i,\epsilon}^{(1)-} \mathcal{J}_{\mathcal{P}}(k_i^{(1)} \rho) e^{i\mathcal{P}\varphi} \\ \omega_{i,\epsilon}^{(1)+} \mathcal{J}_{\mathcal{P}+1}(k_i^{(1)} \rho) e^{i(\mathcal{P}+1)\varphi} \end{pmatrix} \otimes \begin{pmatrix} 1 \\ \vdots \\ 0 \\ \vdots \\ 0 \end{pmatrix}, \\ \phi_{\mathcal{K}}^{(k)}(k_i^{(k)}, \mathbf{x}) &= \mathcal{N}_i^{(k)} \begin{pmatrix} \omega_{i,\epsilon}^{(k)+} \mathcal{J}_{\mathcal{P}-n_1+n_k}(k_i^{(k)} \rho) e^{i(\mathcal{P}-n_1+n_k)\varphi} \\ \omega_{i,\epsilon}^{(k)-} \mathcal{J}_{\mathcal{P}+1-n_1+n_k}(k_i^{(k)} \rho) e^{i(\mathcal{P}+1-n_1+n_k)\varphi} \end{pmatrix} \otimes \begin{pmatrix} 0 \\ \vdots \\ 1 \\ \vdots \\ 0 \end{pmatrix} \end{aligned}$$

(где $k = 2, \dots, N - 1$ и в матрице-столбце единица стоит на k -м месте),

$$\phi_{\mathcal{K}}^{(N)}(k_i^{(N)}, \mathbf{x}) = \mathcal{N}_i^{(N)} \begin{pmatrix} \omega_{i,\epsilon}^{(N)+} J_{\mathcal{P}-n_1}(k_i^{(N)} \rho) e^{i(\mathcal{P}-n_1)\varphi} \\ \omega_{i,\epsilon}^{(N)-} J_{\mathcal{P}+1-n_1}(k_i^{(N)} \rho) e^{i(\mathcal{K}+1-n_1)\varphi} \end{pmatrix} \otimes \begin{pmatrix} 0 \\ \vdots \\ 0 \\ \vdots \\ 1 \end{pmatrix};$$

здесь

$$\omega_{i,\epsilon}^{(p)+} = \omega_{i,-\epsilon}^{(p)-} = 1, \quad \omega_{i,-\epsilon}^{(p)+} = \omega_{i,\epsilon}^{(p)-} = \frac{-\operatorname{sgn}(\epsilon)k_i^{(p)}}{|\epsilon| + m}, \quad \epsilon > 0, \quad p = 1, \dots, N, \quad (54)$$

и введено обозначение

$$\mathcal{P} := \mathcal{K} - \frac{1}{2} + \frac{2n_1 - \sum_{k=2}^N n_k}{3}. \quad (55)$$

В результате наложения граничных условий

$$J_{\mathcal{P}-n_1+n_k}(k_i^{(k)} D) = 0, \quad k = 1, \dots, N - 1, \quad J_{\mathcal{P}-n_1}(k_i^{(N)} D) = 0 \quad (56)$$

получается дискретный набор волновых чисел $k^{(k)}$. Условия ортогональности задаются соотношениями

$$\int_0^D d\rho \rho J_\nu(k_i^{(p)} \rho) J_\nu(k_j^{(p)} \rho) = \int_0^D d\rho \rho J_{\nu\pm 1}(k_i^{(p)} \rho) J_{\nu\pm 1}(k_j^{(p)} \rho) = \delta_{ij} \frac{D^2}{2} [J_{\nu\pm 1}(k_i^{(p)} D)]^2, \quad (57)$$

в которых $\nu = \mathcal{P} - n_1 + n_k$, $\mathcal{P} - n_1$ (здесь $k = 1, \dots, N - 1$). Нормировочные постоянные для базисных векторов равны

$$\begin{aligned} \mathcal{N}_i^{(k)} &= \left[\frac{2\pi D^2 |\epsilon|}{|\epsilon| + m} (J_{\mathcal{P}+1-n_1+n_k}(k_i^{(k)} D))^2 \right]^{-1/2}, \quad k = 1, \dots, N - 1, \\ \mathcal{N}_i^{(N)} &= \left[\frac{2\pi D^2 |\epsilon|}{|\epsilon| + m} (J_{\mathcal{P}+1-n_1}(k_i^{(N)} D))^2 \right]^{-1/2}. \end{aligned} \quad (58)$$

В терминах данного базиса уравнение (21) можно решить численно.

5. ЗАКЛЮЧЕНИЕ

В представленной статье мы изучили спектр фермионов, взаимодействующих с baby-моделью Скирма или $\mathbb{C}P^N$ -моделью типа Скирма-Фаддеева. Мы нашли спектральный поток фермионного одночастичного состояния, дающий картину пересечения уровней. Предполагается, что baby-скирмионы являются анионами, поскольку $\Pi_4(\mathbb{C}P^1)$ тривиальна. Однако анионный угол $\Theta = n_c \pi \operatorname{sgn}(m)$ должен быть целым числом, соответствующим числу Q_{top} нормируемых фермионных мод. Решения $\mathbb{C}P^N$ -модели представляют собой анионы, потому что член Хопфа пертурбативен. С другой стороны, Q_{top} нормируемых мод локализованы на солитонном решении. Таким образом, в случае таргет-пространства $\mathbb{C}P^N$ имеется несогласованность статистической природы фермионов и солитонов. Возможно, удастся преодолеть это несоответствие; мы посвятим этому наши следующие статьи.

ПРИЛОЖЕНИЕ

В данном приложении мы используем обозначения из работы [15]. Статистическая сумма задается как интеграл

$$\mathcal{Z} = \int \mathcal{D}\psi \mathcal{D}\bar{\psi} \exp \left\{ \int d^3x i\bar{\psi} \mathcal{D}_A \psi \right\} = (\det i\mathcal{D}_A)^{n_c}, \quad (59)$$

где ψ и $\bar{\psi}$ – поля Дирака и $i\mathcal{D}_A = i\gamma_\alpha(\partial_\alpha - iA_\alpha) - mU$, где A_α – $U(1)$ -калибровочное поле. Матрицы γ_α задаются как $\gamma_\alpha = -i\sigma_\alpha$. В эффективном действии $\omega = n_c \ln \det i\mathcal{D}_A$ выделяются действительная и мнимая части

$$\operatorname{Re} \omega = \frac{n_c}{2} \ln \det \mathcal{D}_A^\dagger \mathcal{D}_A, \quad \operatorname{Im} \omega = \frac{n_c}{2i} \ln \det \frac{i\mathcal{D}_A}{-i\mathcal{D}_A^\dagger}. \quad (60)$$

Нетрудно видеть, что при $A_\mu \rightarrow 0$ (и $\mathcal{D}_A \rightarrow \mathcal{D}$)

$$\mathcal{D}^\dagger \mathcal{D} = -\partial^2 + m^2 + im\gamma_\alpha \partial_\alpha U, \quad \mathcal{D} \mathcal{D}^\dagger = -\partial^2 + m^2 - im\gamma_\alpha \partial_\alpha U. \quad (61)$$

Проводя подходящее вычитание вакуумного состояния $U = 1$, имеем

$$\begin{aligned} \operatorname{Re} \omega &= \frac{n_c}{2} \operatorname{Sp} \ln \left(1 + \frac{im\gamma_\alpha \partial_\alpha U}{-\partial^2 + m^2} \right) = \frac{n_c}{2} \int d^3x \int \frac{d^3k}{(2\pi)^3} e^{-ikx} \operatorname{Tr} \ln \left(1 + \frac{im\gamma_\alpha \partial_\alpha U}{-\partial^2 + m^2} \right) e^{ikx} = \\ &= \frac{n_c}{2} \int d^3x \int \frac{d^3k}{(2\pi)^3} \operatorname{Tr} \ln \left(1 + \frac{im\gamma_\alpha \partial_\alpha U}{k^2 + m^2 - 2ik\partial - \partial^2} \right). \end{aligned}$$

Разложим данное выражение по степеням $2ik\partial + \partial^2$ и $\gamma_\alpha \partial_\alpha U$, первый ненулевой член равен

$$\operatorname{Re} \omega^{(2)} = -n_c \frac{|m|}{16\pi} \int d^3x \operatorname{Tr}(\partial_\mu U \partial_\mu U). \quad (62)$$

После взятия следа по спинорным индексам и перехода к метрике Минковского получаем действие (15).

Взяв вариацию $\mathcal{D} \rightarrow \mathcal{D} + \delta\mathcal{D}$, $\mathcal{D}^\dagger \rightarrow \mathcal{D}^\dagger + \delta\mathcal{D}^\dagger$ при $A_\mu \rightarrow 0$, получим вариацию мнимой части действия:

$$\delta \operatorname{Im} \omega = \frac{n_c}{2i} \operatorname{Tr} \left(\frac{1}{\mathcal{D}^\dagger \mathcal{D}} \mathcal{D}^\dagger \delta\mathcal{D} - \frac{1}{\mathcal{D} \mathcal{D}^\dagger} \mathcal{D} \delta\mathcal{D}^\dagger \right). \quad (63)$$

Она содержит тройное произведение производных:

$$\delta \operatorname{Im} \omega^{(3)} = -n_c \frac{\operatorname{sgn}(m)}{32\pi} \int d^3x \epsilon^{\mu\nu\lambda} \operatorname{Tr}(\partial_\mu U \partial_\nu U \partial_\lambda U U \delta U). \quad (64)$$

В терминах новой переменной $a_\mu := -iZ^\dagger \partial_\mu Z$ последняя формула записывается как

$$\operatorname{Im} \delta\omega^{(3)} = n_c \frac{\operatorname{sgn}(m)}{2\pi} \int d^3x \epsilon^{\mu\nu\lambda} \delta a_\mu \partial_\nu a_\lambda. \quad (65)$$

Можно показать, что данное выражение совпадает с вариацией действия (9). При $A_\mu \neq 0$ мы, кроме того, имеем компоненту с двумя производными:

$$\operatorname{Im} \delta\omega^{(2)}|_{A_\mu \neq 0} = -\frac{n_c}{16\pi i} \delta A_\mu \int d^3x \epsilon^{\mu\nu\lambda} \operatorname{Tr}(\partial_\nu U \partial_\lambda U U). \quad (66)$$

Эти две компоненты вносят вклад в итоговое выражение (16).

Благодарности. Н. Савадо благодарит организаторов конференции “Модели квантовой теории поля” (MQFT 2018) за гостеприимство.

Конфликт интересов. Авторы заявляют, что у них нет конфликта интересов.

Список литературы

- [1] L. A. Ferreira, P. Klimas, “Exact vortex solutions in a CP^N Skyrme–Faddeev type model”, *JHEP*, **10** (2010), 008, 19 pp., arXiv:1007.1667.
- [2] Y. Amari, P. Klimas, N. Sawado, Y. Tamaki, “Potentials and the vortex solutions in the CP^N Skyrme–Faddeev model”, *Phys. Rev. D*, **92**:4 (2015), 045007, 15 pp., arXiv:1504.02848.
- [3] B. M. A. G. Piette, B. J. Schroers, W. J. Zakrzewski, “Multi-solitons in a two-dimensional Skyrme model”, *Z. Phys. C*, **65**:1 (1995), 165–174, arXiv:hep-th/9406160.
- [4] F. Wilczek, A. Zee, “Linking numbers, spin, and statistics of solitons”, *Phys. Rev. Lett.*, **51**:25 (1983), 2250–2252.
- [5] A. G. Abanov, “Hopf term induced by fermions”, *Phys. Lett. B*, **492**:3–4 (2000), 321–323, arXiv:hep-th/0005150.
- [6] A. G. Abanov, P. B. Wiegmann, “On the correspondence between fermionic number and statistics of solitons”, *JHEP*, **10** (2001), 030, 12 pp., arXiv:hep-th/0105213.
- [7] O. Bar, M. Imboden, U. J. Wiese, “Pions versus magnons: from QCD to antiferromagnets and quantum Hall ferromagnets”, *Nucl. Phys. B*, **686**:3 (2004), 347–376, arXiv:cond-mat/0310353.
- [8] T. Jaroszewicz, “Induced topological terms, spin and statistics in (2+1)-dimensions”, *Phys. Lett. B*, **159**:4–6 (1985), 299–302.
- [9] М. Ф. Атья, И. М. Зингер, “Индекс эллиптических операторов. Г”, *УМН*, **23**:5(143) (1968), 99–142.
- [10] S. Kahana, G. Ripka, “Baryon density of quarks coupled to a chiral field”, *Nucl. Phys. A*, **429**:3 (1984), 462–476.
- [11] A. Acus, E. Norvaisas, Ya. Shnir, “Baby Skyrmions stabilized by canonical quantization”, *Phys. Lett. B*, **682**:1 (2009), 155–162, arXiv:0909.5281.
- [12] C.-C. Liu, P. Goswami, Q. Si, “Skyrmion defects of antiferromagnet and competing singlet orders of a Kondo–Heisenberg model on honeycomb lattice”, *Phys. Rev. B*, **96**:12 (2017), 125101, 14 pp., arXiv:1704.07818.
- [13] E. Witten, “Global aspects of current algebra”, *Nucl. Phys. B*, **223**:2 (1983), 422–432.
- [14] R. Jackiw, P. Rossi, “Zero modes of the vortex-fermion system”, *Nucl. Phys. B*, **190**:4 (1981), 681–691.
- [15] D. I. Diakonov, V. Yu. Petrov, P. V. Pobylitsa, “A chiral theory of nucleons”, *Nucl. Phys. B*, **306**:4 (1988), 809–848.
- [16] R. Alkofer, H. Reinhardt, *Chiral Quark Dynamics*, Lecture Notes in Physics Monographs, **33**, Springer, Berlin, 1995.
- [17] A. D’Adda, A. C. Davis, “Chiral symmetry restoration in the $CP^{(n-1)}$ in two-dimensions model with fermions”, *Phys. Lett. B*, **101**:1–2 (1981), 85–88.
- [18] A. D’Adda, M. Luscher, P. Di Vecchia, “A $1/n$ expandable series of nonlinear σ models with instantons”, *Nucl. Phys. B*, **146**:1 (1978), 63–76.
- [19] A. E. Kudryavtsev, B. M. A. G. Piette, W. J. Zakrzewski, “Skyrmions and domain walls in (2 + 1)-dimensions”, *Nonlinearity*, **11**:4 (1998), 783–795, arXiv:hep-th/9709187.
- [20] Y. Amari, P. Klimas, N. Sawado, “Collective coordinate quantization, spin statistics of the solitons in the CP^N Skyrme–Faddeev model”, *Phys. Rev. D*, **94**:2 (2016), 025032, 18 pp., arXiv:1604.06125.

Поступила в редакцию 13.12.2018,
после доработки 19.02.2019,
принята к публикации 11.03.2019